

УСТОЙЧИВОСТЬ ОБОЛОЧЕК В УСЛОВИЯХ ПОЛЗУЧЕСТИ

Э. И. Григорюк, Ю. В. Липовцев

(Москва)

Рассмотрим тонкую однородную оболочку при произвольном нагружении, вызывающем потерю устойчивости. Полагаем, что оболочка имеет некоторые начальные несовершенства в форме срединной поверхности, которые можно описать заданием некоторых начальных перемещений. После приложения нагрузки в процессе ползучести происходит развитие этих начальных несовершенств и вследствие этого—перераспределение напряжений как по толщине, так и по всей поверхности оболочки. Этот процесс перераспределения напряжений может оказаться настолько существенным, что в некоторый момент времени равновесное состояние оболочки окажется неустойчивым по Эйлеру, т. е. в некоторый момент времени окажутся возможными несколько форм равновесия, переход в каждую из которых осуществляется мгновенно. Назовем этот момент времени «критическим временем» потери устойчивости оболочки.

Отклонение напряженного и деформированного докритического состояния реальной оболочки от основного, соответствующего идеально гладкой оболочке, можно описать системой уравнений относительных функций напряжений и функции прогиба, если предположить, что для величин, характеризующих эти отклонения, справедливы линеаризованные соотношения ползучести, аналогичные соотношениям для упруго-вязких тел. К этой системе уравнений нужно присоединить систему уравнений устойчивости, составленную с учетом тех напряжений и деформаций, которые определяются системой уравнений докритического состояния.

§ 1. Постановка задачи. Предположим, что компоненты напряжений докритического состояния можно представить в виде

$$\sigma_{mn} = \sigma_{mn}^o + \frac{1}{h} T_{mn} + \frac{12}{h^3} M_{mn} z \quad (1.1)$$

Здесь σ_{mn}^o — компоненты напряжения основного состояния; T_{mn} , M_{mn} — удельные дополнительные усилия и моменты, отнесенные к срединной поверхности оболочки; z — расстояние от срединной поверхности; h — толщина оболочки.

Следует отметить, что в случае ползучести, когда физические соотношения носят нелинейный характер, предположение о линейном распределении напряжений по толщине оболочки, вообще говоря, противоречит гипотезе прямой нормали. Но если докритическое состояние оболочки незначительно отклоняется от основного σ_{mn}^o , соответствующего идеально гладкой оболочке, то физические соотношения можно линеаризовать относительно основного состояния. Тогда указанное противоречие устраняется. Уравнения равновесия докритического состояния в процессе ползучести имеют вид

$$\frac{\partial T_{m1}}{\partial x} + \frac{\partial T_{m2}}{\partial y} = 0, \quad \frac{\partial M_{m1}}{\partial x} + \frac{\partial M_{m2}}{\partial y} = Q_m \quad (1.2)$$

$$\frac{\partial Q_1}{\partial x} + \frac{\partial Q_2}{\partial y} + \frac{T_{11}}{R_{11}} + \frac{T_{22}}{R_{22}} - T_{11}\kappa_{11} - T_{22}\kappa_{22} - 2T_{12}\kappa_{12} = 0 \quad (1.3) \\ (m = 1, 2)$$

Здесь Q_m — удельная поперечная сила; κ_{mn} — параметры изменения кривизны и кручения срединной поверхности; R_{mn} — радиус оболочки.

Система уравнений (1.2), (1.3) с присоединенными к ним соотношениями между напряжениями и деформациями описывает процесс выпучивания

оболочки во времени, процесс перераспределения напряжений. Пусть в некоторый момент времени оболочка становится неустойчивой, это означает, что оболочка мгновенно может перейти в соседнее равновесное состояние, характеризуемое усилиями $T_{mn} + T_{mn}^*$, $Q_m + Q_m^*$, моментами $M_{mn} + M_{mn}^*$ и кривизнами $\kappa_{mn} + \kappa_{mn}^*$. Составляя уравнения равновесия для этого соседнего состояния, вычитая из них уравнения (1.2), (1.3) получим уравнения устойчивости

$$\frac{\partial T_{m_1}^*}{\partial x} + \frac{\partial T_{m_2}^*}{\partial y} = 0, \quad \frac{\partial M_{m_1}^*}{\partial x} + \frac{\partial M_{m_2}^*}{\partial y} = Q_m^* \quad (1.4)$$

$$\frac{\partial Q_1^*}{\partial x} + \frac{\partial Q_2^*}{\partial y} + \frac{T_{11}^*}{R_{11}} + \frac{T_{22}^*}{R_{22}} - T_{11}\kappa_{11}^* - 2T_{12}\kappa_{12}^* - T_{22}\kappa_{22}^* - T_{11}^*\kappa_{11} - 2T_{12}^*\kappa_{12} - T_{22}^*\kappa_{22} = 0 \quad (1.5)$$

(m = 1,2)

При этом были отброшены нелинейные члены.

§ 2. Физические соотношения. Уравнения (1.2) — (1.5) не составляют замкнутой системы уравнений поставленной задачи, ибо к ним нужно еще присоединить уравнения, определяющие связь между компонентами напряжений и компонентами деформации в процессе ползучести и в момент потери устойчивости, а также записать соотношения между компонентами деформации и составляющими перемещения.

Пусть уравнение состояния при ползучести будет

$$\dot{p}_i = g(\sigma_i, p_i) \sigma_i \quad (2.1)$$

а составляющие тензора скоростей деформации ползучести \dot{p}_{mn} и составляющие девиатора напряжений \dot{s}_{mn} удовлетворяют соотношениям теории течения

$$\dot{p}_{mn} = \frac{3}{2} g(\sigma_i, p_i) s_{mn}$$

$$\dot{p}_{mn} = \varepsilon_{mn} - \frac{3}{2E} s_{mn}, \quad \dot{p}_i^2 = \frac{2}{3} \dot{p}_{mn} \dot{p}_{mn}, \quad \sigma_i^2 = \frac{3}{2} s_{mn} s_{mn} \quad (2.2)$$

Здесь повторение индексов у сомножителей означает суммирование.

Обозначим напряженное состояние, соответствующее идеально гладкой оболочке, не имеющей начальных неправильностей, через σ_i и будем его называть основным. Тогда напряженное состояние реальной оболочки в процессе ползучести будет отклоняться от основного. На основании этого компоненты напряжений и скоростей деформации ползучести можно представить в виде

$$s_{mn} = \overset{\circ}{s}_{mn} + \delta s_{mn}, \quad \dot{p}_{mn} = \overset{\circ}{p}_{mn} + \delta \dot{p}_{mn} \quad (2.3)$$

В соответствии с этим перепишем уравнения (2.1), (2.2)

$$\dot{p}_i^{\circ} + \delta \dot{p}_i = g(\sigma_i^{\circ} + \delta \sigma_i, p_i^{\circ} + \delta p_i) (\sigma_i^{\circ} + \delta \sigma_i) \quad (2.4)$$

$$\dot{p}_{mn}^{\circ} + \delta \dot{p}_{mn} = \frac{3}{2} g(\sigma_i^{\circ} + \delta \sigma_i, p_i^{\circ} + \delta p_i) (s_{mn}^{\circ} + \delta s_{mn})$$

Причем для основного состояния также справедливы уравнения (2.1), (2.2)

$$p_i^{\circ} = g(\sigma_i^{\circ}, p_i^{\circ}) \sigma_i^{\circ}, \quad \dot{p}_{mn}^{\circ} = \frac{3}{2} g(\sigma_i^{\circ}, p_i^{\circ}) s_{mn}^{\circ}$$

Представляя теперь правые части уравнений (2.4) в виде ряда в окрестности основного состояния и удерживая лишь линейные члены, получим

(см. работы [1, 2])

$$\begin{aligned}\delta \dot{\varepsilon}_{mn} - (2/3E)^{-1} \delta s_{mn} &= 3/2g(\sigma_i^{\circ}, p_i^{\circ}) \{ \delta s_{mn} + \alpha_{mn}^* (Ec\delta p_i + b\delta\sigma_i) \} \\ \delta p_i^{\circ} &= g(\sigma_i^{\circ}, p_i^{\circ}) \{ Ec\delta p_i + (b+1)\delta\sigma_i \} \\ c &= \frac{\sigma_i^{\circ}}{E} \frac{1}{g} \frac{\partial g}{\partial p_i}, \quad b = \frac{\sigma_i^{\circ}}{g} \frac{\partial g}{\partial \sigma_i}, \quad \alpha_{mn}^* = \frac{s_{mn}^{\circ}}{\sigma_i^{\circ}}\end{aligned}\quad (2.5)$$

Вводя новую переменную времени

$$\tau = E \int_0^t g(\sigma_i^{\circ}, p_i^{\circ}) dt \quad (2.6)$$

найдем

$$\begin{aligned}\delta \dot{s}_{mn} + \delta s_{mn} &= 2/3E\delta \dot{\varepsilon}_{mn} - \alpha_{mn}^* (Ec\delta p_i + b\delta\sigma_i) \\ E\delta p_i^{\circ} &= Ec\delta p_i + (b+1)\delta\sigma_i\end{aligned}\quad (2.7)$$

Для начального момента времени примем закон Гука

$$\delta \varepsilon_{mn} = 3/2 E^{-1} \delta s_{mn} \quad (2.8)$$

После интегрирования уравнений (2.7), с учетом начальных условий (2.8) будем иметь

$$\delta s_{mn} = 2/3 EI \delta \varepsilon_{mn} - \alpha_{mn}^* G \delta \sigma_i \quad (2.9)$$

Здесь

$$\begin{aligned}I \delta \varepsilon_{mn} &= \delta \varepsilon_{mn} - e^{-\tau} \int_0^\tau e^\tau \delta \varepsilon_{mn} d\tau \\ G \delta \sigma_i &= e^{-\tau} \int_0^\tau e^\tau \left\{ e^{c^*} c \int_0^\tau (b+1) e^{-c^*} \delta \sigma_i d\tau + b \delta \sigma_i \right\} d\tau \quad (c^* = \int c d\tau)\end{aligned}$$

Для приращений деформаций оболочки используем выражения

$$\begin{aligned}\delta \varepsilon_{mn} &= \delta \varepsilon_{mn}^c + z (\kappa_{mn} - \kappa_{mn}^{\circ}) \\ \delta \varepsilon_{mn}^c &= \frac{1}{2} \left(\frac{\partial u_m}{\partial x_n} + \frac{\partial u_n}{\partial x_m} \right) + \frac{1}{2} \frac{\partial w}{\partial x_n} \frac{\partial w}{\partial x_m} - \frac{1}{2} \frac{\partial w^{\circ}}{\partial x_n} \frac{\partial w^{\circ}}{\partial x_m} - \frac{w - w^{\circ}}{R_{mn}} \delta_{mn} \quad (2.10) \\ (x_1 = x, \quad x_2 = y, \quad m = 1, 2, \quad n = 1, 2, \quad u_1 = u, \quad u_2 = v)\end{aligned}$$

Здесь κ_{mn}° , w° — начальные кривизны и начальный прогиб, которые имеют место в оболочке до приложения нагрузки.

§ 3. Усилия и моменты. Выпишем выражения для усилий и моментов, отнесенных к срединной поверхности оболочки,

$$M_{11} = \int_z (2\delta s_{11} + \delta s_{22}) dz, \dots, \quad T_{11} = \int_z (2\delta s_{11} + \delta s_{22}) dz, \dots, \quad (3.1)$$

Подставляя в выражения (3.1) напряжения (2.9) и исключая деформации, согласно (2.10), имеем ($D = 1/9 Eh^3$)

$$\begin{aligned}M_{11} &= DI (\kappa_{11} + 1/2 \kappa_{22} - \kappa_{11}^{\circ} - 1/2 \kappa_{22}^{\circ}) - \alpha_{11} GM_i \\ M_{22} &= DI (\kappa_{22} + 1/2 \kappa_{11} - \kappa_{22}^{\circ} - 1/2 \kappa_{11}^{\circ}) - \alpha_{22} GM_i\end{aligned}\quad (3.2)$$

$$\begin{aligned}M_{12} &= 1/2 DI (\kappa_{12} - \kappa_{12}^{\circ}) - \alpha_{12} GM_i \\ M_i &= (\alpha_{11} - 1/2 \alpha_{22}) M_{11} + (\alpha_{22} - 1/2 \alpha_{11}) M_{22} + 3\kappa_{12} M_{12} \\ \alpha_{11} &= 2\alpha_{11}^* + \alpha_{22}^*, \quad \alpha_{22} = 2\alpha_{22} + \alpha_{11} \quad \alpha_{12} = \alpha_{12}^*\end{aligned}\quad (3.3)$$

Аналогичным образом получаем удельные усилия

$$T_{11} = \frac{4Eh}{3} I \left[\frac{\partial u}{\partial x} + \frac{1}{2} \frac{\partial v}{\partial y} + \frac{1}{2} \left(\frac{\partial w}{\partial x} \right)^2 - \frac{1}{2} \left(\frac{\partial w^o}{\partial x} \right)^2 + \frac{1}{4} \left(\frac{\partial w}{\partial y} \right)^2 - \frac{1}{4} \left(\frac{\partial w^o}{\partial y} \right)^2 \right] - \frac{w - w^o}{R_{11}} - \frac{w - w^o}{2R_{22}} - \alpha_{11} GT_i \quad (3.4)$$

$$T_{22} = \frac{4Eh}{3} I \left[\frac{\partial v}{\partial y} + \frac{1}{2} \frac{\partial u}{\partial x} + \frac{1}{2} \left(\frac{\partial w}{\partial y} \right)^2 + \frac{1}{4} \left(\frac{\partial w}{\partial x} \right)^2 - \frac{1}{2} \left(\frac{\partial w^o}{\partial y} \right)^2 - \frac{1}{4} \left(\frac{\partial w^o}{\partial x} \right)^2 \right] - \frac{w - w^o}{2R_{11}} - \frac{w - w^o}{R_{22}} - \alpha_{22} GT_i \quad (3.4)$$

$$T_{12} = \frac{Eh}{3} I \left[\frac{\partial u}{\partial y} + \frac{\partial v}{\partial x} + \frac{\partial w}{\partial x} \frac{\partial w}{\partial y} - \frac{\partial w^o}{\partial x} \frac{\partial w^o}{\partial y} \right] - \alpha_{12} GT_i \quad (3.5)$$

$$T_i = (\alpha_{11} - 1/2 \alpha_{22}) T_{11} - (\alpha_{22} - 1/2 \alpha_{11}) T_{22} + 3\alpha_{12} T_{12}$$

Для приращений моментов и усилий при потере устойчивости справедливы следующие соотношения:

$$\begin{aligned} M_{11}^* &= D(\kappa_{11}^* + 1/2 \kappa_{22}^*), \quad M_{22}^* = D(\kappa_{22}^* + 1/2 \kappa_{11}^*), \quad M_{12}^* = 1/2 D \kappa_{12}^* \\ T_{11}^* &= \frac{4Eh}{3} \left[\frac{\partial u^*}{\partial x} + \frac{1}{2} \frac{\partial v^*}{\partial y} - \frac{w^*}{2R_{22}} - \frac{w^*}{R_{11}} + 2 \frac{\partial w}{\partial x} \frac{\partial w^*}{\partial x} + \frac{\partial w}{\partial y} \frac{\partial w^*}{\partial y} \right] \\ T_{22}^* &= \frac{4Eh}{3} \left[\frac{\partial v^*}{\partial y} + \frac{1}{2} \frac{\partial u^*}{\partial x} - \frac{w^*}{R_{22}} - \frac{w^*}{2R_{11}} + 2 \frac{\partial w}{\partial y} \frac{\partial w^*}{\partial y} + \frac{\partial w}{\partial x} \frac{\partial w^*}{\partial x} \right] \quad (3.6) \\ T_{12}^* &= \frac{Eh}{3} \left[\frac{\partial u^*}{\partial y} + \frac{\partial v^*}{\partial x} + \frac{\partial w^*}{\partial x} \frac{\partial w^*}{\partial y} + \frac{\partial w}{\partial x} \frac{\partial w^*}{\partial y} \right] \end{aligned}$$

Выражения для T_{mn} линеаризованы относительно w^* .

§ 4. Уравнения устойчивости пологой оболочки общего вида.

Вводя функции усилий для T_{mn} и T_{mn}^* , удовлетворяем первым уравнениям (1.2), (1.4), а для определения силовых функций составляем условия неразрывности деформаций. Оставшиеся уравнения равновесия (1.2), (1.4) записываем в перемещениях, используя при этом соотношения (3.3), (3.5). После выполнения всех этих операций будем окончательно иметь систему уравнений докритического состояния

$$\begin{aligned} K(w, F) + G[K(w, F) + T(w)] &= 0 \\ \nabla^2 \nabla^2 F + \Lambda_1^2 GF &= -Eh I \left[\frac{1}{R_{11}} \left(\frac{\partial^2 w}{\partial y^2} - \frac{\partial^2 w^o}{\partial y^2} \right) + \frac{1}{R_{22}} \left(\frac{\partial^2 w}{\partial x^2} - \frac{\partial^2 w^o}{\partial x^2} \right) + \right. \\ &\quad \left. + \frac{L(w, w)}{2} - \frac{L(w^o, w^o)}{2} \right] \quad (4.1) \\ K(w, F) &= D \nabla^2 \nabla^2 I(w - w^o) - h \sigma_i \Lambda w - L(w, F) - \frac{1}{R_{22}} \frac{\partial^2 F}{\partial x^2} - \frac{1}{R_{11}} \frac{\partial^2 F}{\partial y^2} \\ L(w, F) &= \left[\frac{\partial^2 w}{\partial x^2} \frac{\partial^2 F}{\partial y^2} + \frac{\partial^2 w}{\partial y^2} \frac{\partial^2 F}{\partial x^2} - 2 \frac{\partial^2 w}{\partial x \partial y} \frac{\partial^2 F}{\partial x \partial y} \right] \\ T(w) &= -3/4 D \Lambda^2 I(w - w^o) \end{aligned}$$

и систему уравнений устойчивости

$$\begin{aligned} \nabla^2 \nabla^2 F^* &= -Eh \left(\frac{1}{R_{11}} \frac{\partial^2 w^*}{\partial y^2} + \frac{1}{R_{22}} \frac{\partial^2 w}{\partial x^2} + L(w^*, w) \right) \\ D \nabla^2 \nabla^2 w^* - h \sigma_i \Lambda w^* &= -\frac{1}{R_{22}} \frac{\partial^2 F^*}{\partial x^2} - \frac{1}{R_{11}} \frac{\partial^2 F}{\partial y^2} - L(w, F^*) - L(w^*, F) = 0 \\ \Lambda &= \alpha_{11} \frac{\partial^2}{\partial x^2} + 2\alpha_{12} \frac{\partial^2}{\partial x \partial y} + \alpha_{22} \frac{\partial^2}{\partial y^2} \quad (4.2) \\ \Lambda_1 &= \alpha_{11} \left(\frac{\partial^2}{\partial y^2} - \frac{1}{2} \frac{\partial^2}{\partial x^2} \right) + \alpha_{22} \left(\frac{\partial^2}{\partial x^2} - \frac{1}{2} \frac{\partial^2}{\partial y^2} \right) + 3\alpha_{12} \frac{\partial}{\partial x \partial y} \end{aligned}$$

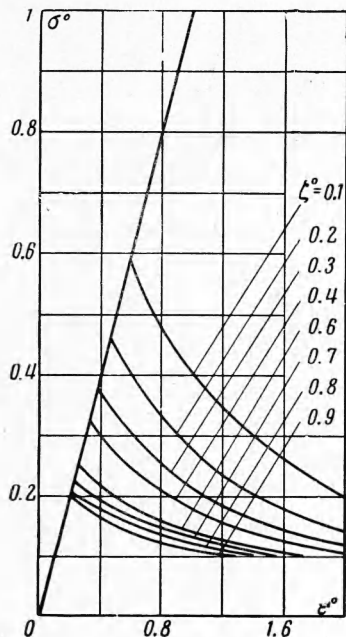
§ 5. Замкнутая цилиндрическая оболочка при осевом сжатии. Рассмотрим устойчивость замкнутой цилиндрической оболочки в случае равномерного осевого сжатия ($R_{11} = \infty$, $R_{22} = R$, $\alpha = -1$, $\alpha_{12} = \alpha_{22} = 0$), используя при этом простейший закон ползучести

$$p_i = B\sigma_i \quad (5.1)$$

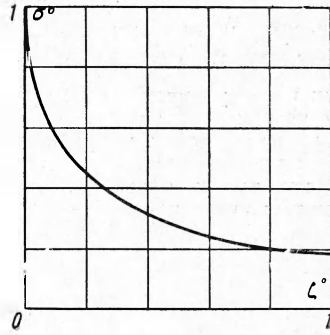
Тогда система уравнений (4.1) примет вид

$$\begin{aligned} \nabla^2 \nabla^2 F &= -\frac{Eh}{R} I \left[\frac{\partial^2 (w - w^\circ)}{\partial x^2} + \frac{R}{2} L(w, w) - \frac{R}{2} L(w^\circ, w^\circ) \right] \\ D \nabla^2 \nabla^2 I (w - w^\circ) + T^\circ \frac{\partial^2 w}{\partial x^2} - \frac{1}{R} \frac{\partial^2 F}{\partial x^2} - L(w, F) &= 0 \end{aligned} \quad (5.2)$$

Для решения вопроса о выборе формы прогиба до и после потери устойчивости, а также формы начального прогиба обратимся к нелинейной задаче о закритических деформациях цилиндрической оболочки, рассматриваемой рядом авторов в работах [3-8]. В этих работах используются различные представления формы послекритического прогиба,



Фиг. 1



Фиг. 2

однако все они содержат одну общую часть, которую можно записать в виде

$$w_1 = f_1 \sin \frac{m\pi x}{L} \sin \frac{ny}{R} + f_2 \sin^2 \frac{m\pi x}{L} + f_0$$

Принимая это выражение послекритического прогиба за основу, положим

$$\begin{aligned} w^\circ &= h\zeta^\circ \sin^2 \frac{m\pi x}{L}, & w &= h\zeta(\tau) \sin^2 \frac{m\pi x}{L} + h\zeta_1(\tau) \\ w^* &= h\zeta^* \sin \frac{m\pi x}{L} \sin \frac{ny}{R} \end{aligned} \quad (5.3)$$

В результате после потери устойчивости будем иметь

$$w_1 = h\zeta^* \sin \frac{m\pi x}{L} \sin \frac{ny}{R} + h\zeta \sin^2 \frac{m\pi x}{L} + h\zeta_1$$

При этом ζ^* из решения задачи в данной постановке не определяется. Интегрируя систему уравнений (5.2), находим

$$\begin{aligned}\zeta(\tau) &= (k+1)\zeta^0 e^{k\tau}, \quad T_{22} = \frac{Eh^2}{R} k \zeta^0 e^{k\tau} \cos \frac{2m\pi x}{L} \\ k &= \frac{\sigma}{l_1 - \sigma}, \quad \sigma = \frac{T^0 R}{Eh^2}, \quad l_1 = \frac{4\eta\vartheta^2}{9} + \frac{1}{4\eta\vartheta^2}, \quad \vartheta = \frac{m\pi R}{Ln}, \quad \eta = \frac{h}{R} n^2\end{aligned}\quad (5.4)$$

Исключая теперь из второго уравнения системы (4.2) w , F , F^* и интегрируя его по методу Бубнова — Галёркина, получим уравнение для определения критического параметра времени $\tau = \tau_*$

$$\begin{aligned}4l_3(k+1)^2\zeta^0 e^{2k\tau} - (1+k)l_4\zeta^0 e^{k\tau} + l_2 - \sigma &= 0 \\ l_2 &= \frac{(1+\vartheta^2)^2}{9\vartheta^2} \eta + \frac{\vartheta^2}{\eta(1+\vartheta^2)^2} \\ l_3 &= \eta\vartheta^2 \left[\frac{1}{(1+\vartheta^2)^2} + \frac{1}{(1+9\vartheta^2)^2} \right], \quad l_4 = \frac{4\vartheta^2}{(1+\vartheta^2)^2} + \frac{k}{(k+1)^2\vartheta^2}\end{aligned}$$

На фиг. 1 приведена зависимость осевой критической деформации основного состояния от величины начальных напряжений и амплитуды начальных несовершенств. При этом на графике приняты следующие обозначения:

$$\sigma^0 = \sigma / \sigma^+, \quad \varepsilon^0 = \sigma^0(1 + \tau_*)$$

где σ^+ — верхнее критическое напряжение идеально гладкой упругой оболочки ($\sigma^+ = 0.605$). Параметры волнобразования ϑ , η были выбраны из условия минимума τ_* . Значения параметра критической деформации ε^0 отложены по оси абсцисс.

При $\tau = 0$ уравнение (5.5) приводит к решению задачи устойчивости упругой оболочки с учетом начальных несовершенств. На фиг. 2 дана зависимость величины критического напряжения упругой оболочки от амплитуды начального прогиба ζ^0 . Из графика видно, что величина критического напряжения резко изменяется при очень малых начальных прогибах. Это свидетельствует о том, что в эксперименте весьма затруднительно получить $\sigma^+ = 0.605$ или, что то же, $\sigma^0 = 1$.

Поступила 27 IV 1965

ЛИТЕРАТУРА

- Работников Ю. Н., Шестериков С. А. Устойчивость стержней и пластинок в условиях ползучести. ПММ, 1957, т. 21, вып. 3, 406—412.
- Куршин Л. М., Липовцев Ю. В. Устойчивость цилиндрической панели при сжатии в условиях ползучести. Сб. «Тепловые напряжения в элементах конструкций», 1964, вып. 4, Киев.
- Вольмир А. С. Устойчивость упругих систем. М., Физматгиз, 1963.
- Karaman Th., Tsien H. S. The buckling of thin cylindrical shells under axial compression. JAS, 1941, vol. 8, No. 8, p. 303—312.
- Michielsen H. F. The behavior of thin cylindrical shells after buckling under axial compression. JAS, 1948, vol. 15, No. 12, p. 738—744.
- Kemper J. Postbuckling behavior of axially compressed circular cylindrical shells. JAS, 1954, vol. 17, No. 5, p. 329—335.
- Donnell L. H., Wan C. C. Effects of imperfections on buckling of thin cylinders and columns under axial compression. J. Appl. Mech., 1950, vol. 17, No. 1, p. 73—83.
- Almroth B. O. Postbuckling behavior of axially compressed circular cylinders. AIAA J., 1963, vol. 1, No. 3, p. 630—633.